

# *Inosperma adaequatum*

(Britzelm.) Matheny & Esteve-Rav., in Matheny, Hobbs & Esteve-Raventós, *Mycologia*: 10.1080/00275514.2019.1668906, 19 (2019)



Foto Dianora Estrada

*Inocybaceae, Agaricales, Agaricomycetidae, Agaricomycetes, Agaricomycotina, Basidiomycota, Fungi*

## Sinónimos homotípicos:

*Agaricus adaequatus* Britzelm., *Ber. naturhist. Augsburg* 25: 154 (1879)  
*Inocybe adaequata* (Britzelm.) Sacc., *Syll. fung.* (Abellini) 5: 767 (1887)

## Material estudiado:

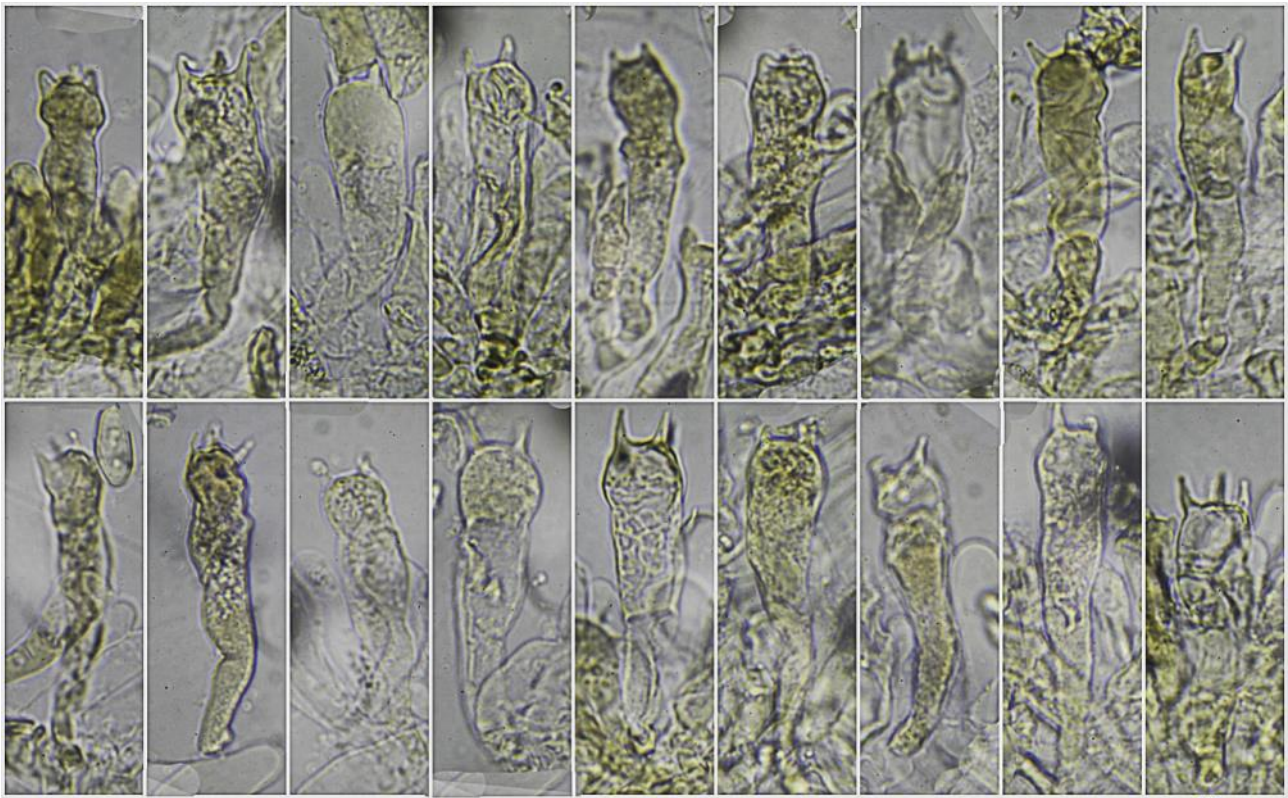
ESPAÑA, Andalucía, Cádiz, Grazalema, Sendero el Tesorillo, 30STF8070, 662 m, en suelo en bosque de *Quercus suber*, 24-XI-2024, leg. Cleo Rodríguez, Inmaculada Fernández, Dianora Estrada, Vicente Escobio, Rafael Roca y Demetrio Merino, JA: 9781.

## Descripción macroscópica:

**Pileo** de 44-72 mm de diám., de cónico campanulado a plano convexo con la edad, con mamelón obtuso, margen ondulado, fibriloso. **Cutícula** lisa, cubierta de fibrillas radiales oscuras sobre fondo marrón rojizo a rojo cobre, más oscura en el centro. **Láminas** adnadas, de color marrón rojizo, con arista floconosa, blanca. **Estípite** de 59-143 x 6-12 mm, central, cilíndrico, curvado, fibriloso, algo ensanchado en la base, de color beige virando con la edad a vino tinto, especialmente en la base. **Olor** agradable, como a caldo.

## Descripción microscópica:

**Basidios** claviformes, tetraspóricos, con fíbula basal, de  $(40,2-)$ 43,2-53,4(-56,0)  $\times$  (9,4-)10,5-13,7(-14,3)  $\mu\text{m}$ ; N = 29; Me = 48,3  $\times$  11,9  $\mu\text{m}$ . **Esporas** elipsoidales a cilíndricas, lisas, apiculadas, gutuladas, de  $(10,8-)$ 12,1-13,9(-16,3)  $\times$  (5,2-)6,5-7,7(-8,2)  $\mu\text{m}$ ; Q = (1,4-)1,7-2,1(-2,5); N = 106; V = (183-)283-408(-523)  $\mu\text{m}^3$ ; Me = 13,0  $\times$  7,1  $\mu\text{m}$ ; Qe = 1,8; Ve = 342  $\mu\text{m}^3$ . **Queilocistidios** claviformes, algunos subcapitados, septados, con ausencia de crisocistidios, de  $(37,4-)$ 38,7-56,1(-66,6)  $\times$  (8,5-)8,7-10,5(-11,6)  $\mu\text{m}$ ; N = 26; Me = 48,6  $\times$  9,7  $\mu\text{m}$ . **Pileipellis** formada por hifas cilíndricas, paralelas, fibuladas, con terminaciones apuntadas. **Estipitipellis** con presencia de caulocistidios similares a los queilocistidios. **Fibulas** observadas en todas las estructuras.

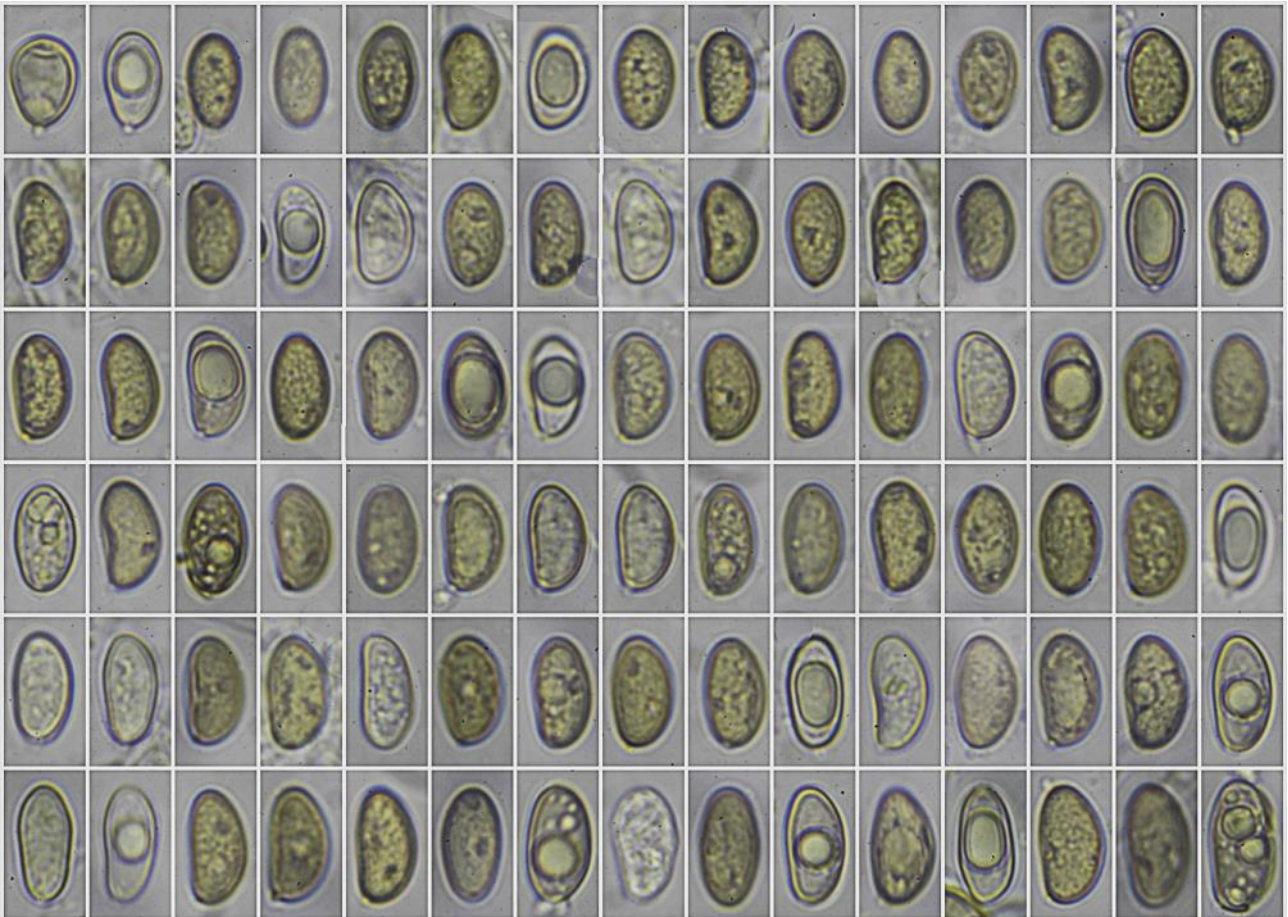


**Basidios KOH 5%**

(40,2-)-43,2-53,4(-56,0) × (9,4-)-10,5-13,7(-14,3) μm; N = 29; Me = 48,3 × 11,9 μm

20 μm

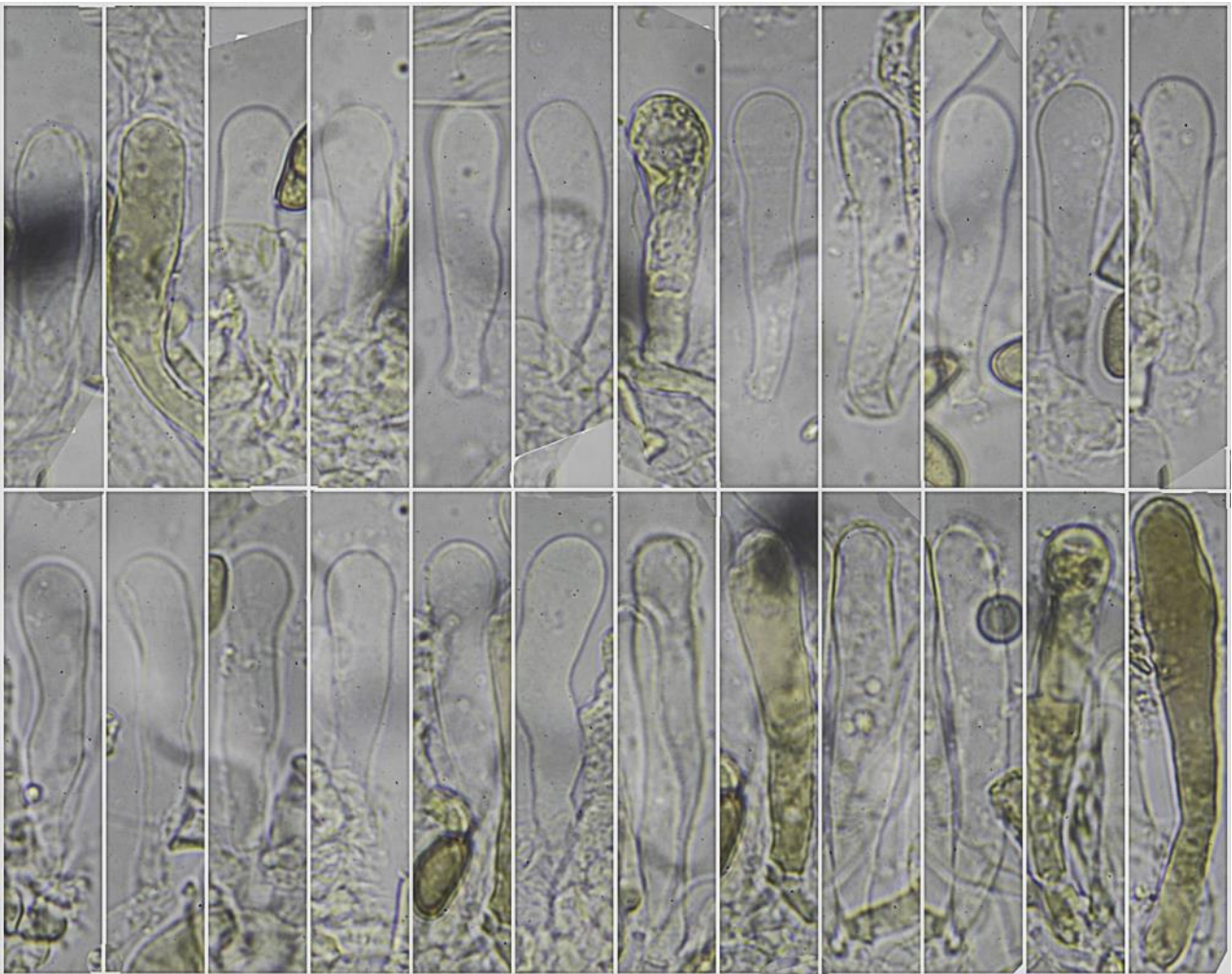
A. Basidios.



(10,8-)-12,1-13,9(-16,3) × (5,2-)-6,5-7,7(-8,2) μm; Q = (1,4-)-1,7-2,1(-2,5); N = 106 **Esporas KOH 5%**  
 V = (183-)-283-408(-523) μm<sup>3</sup>; Me = 13,0 × 7,1 μm; Qe = 1,8; Ve = 342 μm<sup>3</sup>

20 μm

B. Esporas.

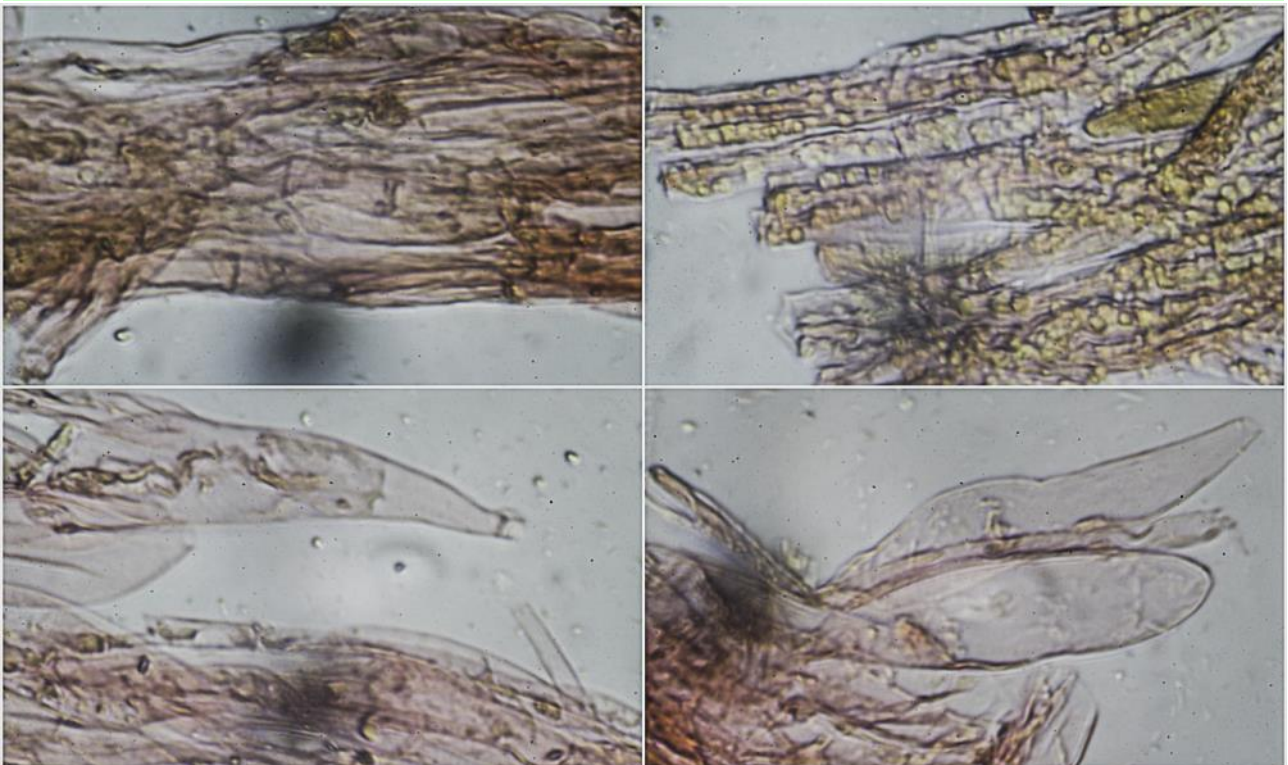


**Queilocistidios KOH 5%**

(37,4-38,7-56,1(-66,6) × (8,5-)8,7-10,5(-11,6) μm; N = 26; Me = 48,6 × 9,7 μm

50 μm

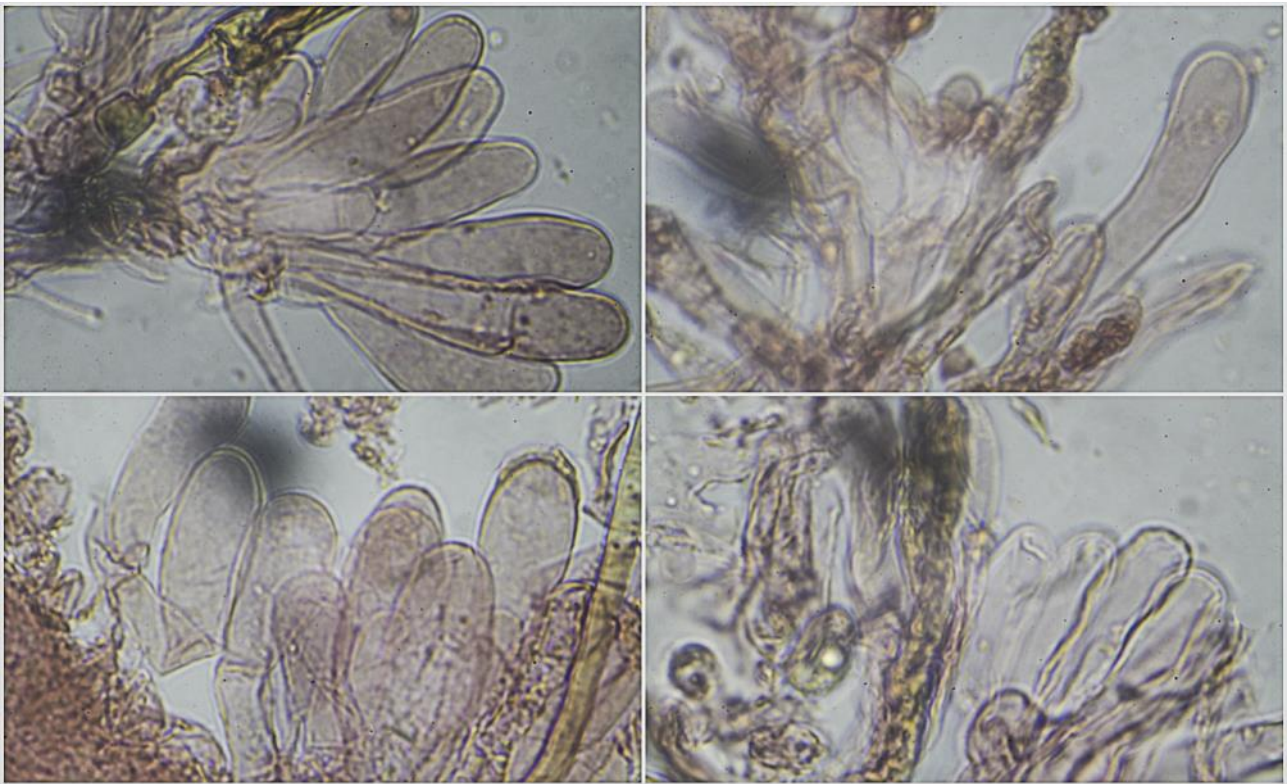
C. Queilocistidios.



**Pileipellis Rojo Congo SDS**

20 μm

D. Pileipellis.



### Estipitipellis Rojo Congo SDS

20 μm

E. Estipitipellis.

#### Observaciones

Característico de esta especie es el enrojecimiento de la base del estípite. Se diferencia de otras especies enrojecientes en que carece de cristicidios (BREITENBACH & KRÄNZLIN, 2000: 42).

#### Otras descripciones y fotografías

- BREITENBACH J. & F. KRÄNZLIN (2000). *Fungi of Switzerland Vol. 5. Champignons à lames 3ème partie*. Mykologia Lucern. Pág. 42 como *Inocybe adaequata*.

Salvo indicación en contrario, las fotos están realizadas por Demetrio Merino.